基于ACT112的MR16 LED射灯驱动器

杨恒

(技领半导体(上海)有限公司、上海 201203)

摘 要:鉴于MR16卤素射灯目前的市场占有率极大,高性价比的MR16 LED驱动器设计将成为LED灯取代卤素灯的关键因素。本文给出一种基于ACT112构成的MR16 LED射灯驱动器,并其具有的高性价比和多种应用电路结构作了介绍。

关键词:LED; 灯驱动器; 电子变压器

A MR16 LED Driver Based on ACT112

YANG Heng

(Active-semi (Shanghai) Co., Ltd, Shanghai 201203, China)

Abstract: In view of the enormous market occupancy of MR16 halogen lamps, MR16 LED driver will become the key factor for the LED replacing halogen lamps, due to its high performance-to-price ratio. In this paper, a MR16 LED driver based on ACT112 is proposed and its high performance-to-price ratio as well as many kinds of applications is described.

Keywords: LED; LED Driver; Transformer

中图分类号: TM923.34

文献标识码: B

文章编号: 0219-2719(2010)01-0013-06

0 引言

居室照明离不开灯具,而灯具是照明的集中 反映,它既是完成居室建筑功能、创造视觉条件 的工具,又是居室装潢的一部分,是照明技术与 建筑艺术的有机统一。现代灯具不仅在居室内起 到照明的作用,而且更是营造与渲染居室环境氛 围的主要组成部分。

MR16卤素灯在市场上至少有20亿只以上, 大量地使用卤素灯不但消耗了大量的电能,而且 给环境带来了诸多的不利,加剧了地球温室效应 地产生,同时由于卤素灯使用寿命很短,一般卤 素灯使用寿命仅为400小时左右,因此如何合理 地处置废弃卤素灯产生的垃圾又给人们带来了新 的困惑。随着人们对能源与环保的新要求,使用 MR16 LED射灯替代传统的MR16卤素灯已是迫在 眉睫。如将20亿只卤素灯中的25%改用LED,则市 场容量至少存在5亿以上,因此,许多IC公司都意 识到MR16 LED未来市场潜力的巨大,因此纷纷 推出适合于MR16 LED射灯的驱动IC,以满足日 益蓬勃的市场需求。

1 可能用作MR16 LED射灯的驱动IC

可能用作MR16驱动器控制IC的生产厂家较多,因此可选择性较太,但如何对这些IC的性能特点了解的更多,设计的产品更具有生命力与市

收稿日期: 2009-07-02

场竞争能力,这是许多LED灯饰厂及LED驱动器厂家的工程师不一定所熟知的,表1给出了目前可用于MR16驱动器IC的主要数据,以使产品设计工程师有比较清晰地了解,设计出适合于MR16LED且具有较高的性价比的驱动器。

选择驱动IC着重考虑的是性价比,从IC的内部开关管来分主要有内置NPN与MOSFET之分(MOSFET又有P-MOSFET与N-MOSFET之区别)。我们知道内置开关管的导通电阻越小,则其导通损耗就越小。对于MR16 LED驱动器来说,因其内部空间很小,因此我们希望IC的工作频率高一些,这样可以使用较小的电感与电容,同时IC本身的封装尺寸小一些也有利于PCB排版。MR16 LED射灯输入电压通常是12VAC/DC,因此若采用太大的输入电压通常是12VAC/DC,因此若采用太大的输入电压范围(如LM3402HV,LM3404HV)显然是浪费资源。在综合以上因素之后当然要考虑的是IC的价格。从表1所列IC的性能中可见,我们推荐ACT112比较符合性价比优化的条件。

2 ACT112的主要性能

ACT112是使用电流型驱动模式、在4.5~30V

输入电压范围内具有高效降压结构的转换器, 其输出电流能力达到1.5A。ACT112设计工作 在1.4MHz恒定的工作频率内,其内部包括一个 PWM控制电路;一个高精度的带隙电压基准; 一个振荡器和一个误差放大器;具有内部补偿功 能,无需外部补偿元件,内置低导通电阻的N沟 道MOSFET。利用与LED串联回路的检测电阻取 样,具有高精度性;反馈电压低至0.2V,极大地 提高了转换器的效率。IC内置多种故障保护功能 电路,包括电流限制,UVLO,过热保护等电路。

ACT112适合于驱动1~5W的LED,具有非常低的反馈电压,非常低的纹波电流,只用很少的外部元件如电感、电容和检测电阻就构成降压式LED驱动器,其效率能达到90%左右。

1) ACT112的引脚排列及功能

图1是ACT112引脚排列图,各引脚功能如下:

引脚1(SW):内置N沟道功率MOSFET的源极输出端,外部与功率电感器连接。

引脚2(IN):电源输入端。在该引脚对GND端 需连接上10μF的瓷片电容作旁路电容,电容的放 置位置尽量靠近该引脚与GND之间。

*** H W EN L 1 1/2 20 TT 1/2 1	表1	目前国内市场上用于MR16	LED驱动IC的性能比较
--------------------------------	----	---------------	--------------

序	———— 厂商	型号	$U_{\rm in}({ m V})$	$I_{o}(\mathbf{A})$	FB	SW(Ω)	频率	封装	效率
号					(mv)		(Hz)		(%)
	Addtec	AMC7150	4~40	1.5	330	NPN/1.3V	200k	TO-252	70
2	ON	NCP3065	3~40	1.5	235	NPN/1.3V	250k	SO-8	70
3	Powtech	PT4105	5~18	0.5	200	P-MOS/0.3	500k	SO-8	80
4	Powtech	PT4115	8~30	1.2	100	N-MOS/0.6	可变	SO-8	90
5	Zetex	ZXLD1350	7~30	0.35	100	N-MOS/1.5	可变	TSOT23-5	90
6	Zetex	ZXLD1360	7~30	1.0	100	N-MOS/1.0	可变	TSOT23-5	90
7	National	LM3402	6~42	0.5	200	N-MOS/1.5	可变	MSOP-8	90
8	National	LM3402HV	6~75	0.5	200	N-MOS/1.5	可变	MSOP-8	90
9	National	LM3404	6~42	1.0	200	N-MOS/0.75	可变	SO-8	90
10	National	LM3404HV	6~75	1.0	200	N-MOS/0.75	可变	SO-8	90
11	Active	ACT112	4.5~30	1.5	200	N-MOS/0.3	1.4M	SOT23-6	90
12	AXElite	AX2003	3.6~23	3	250	N-MOS/0.14	330k	SOP-8L	90
	KF,	KF5241							
13	QX,	QX5241	5.5~36	外置MOSFET	220	外置MOSFET	可变	SOT23-6	90
	UTC	UTC4170							
14	Maxim	MAX16820	4.5~28	外置MOSFET	210	外置MOSFET	可变	TDFN	90
15	Princeton	PT6901	8~18	外置MOSFET	240	外置MOSFET	300k	SOP-8	90
								TO-220	
16	Shamrock	SMD736	40	3	1230	NPN	150k		79
								TO-263	
17	Feeling—tech	FP7102	3.6~25	2.0	250	P-MOS/0.07	320k	SOP-8	88
18	Feeling—tech	FP7101A	$4.75 \sim 23$	2.0	200	N-MOS/0.22	380k	SOP-8	90
19	Diodes	AP8801	8~48	1.0	200	N-MOS/0.65	可变	SOP-8	90
20	Richtek	RT8450	4.5~40	1.0	190	NPN/1.3V	1.0M	WDFN-12L	80

表1 目前国内市场上用于MR16 LED驱动IC的性能比较

序号	厂商	型号	$U_{ m in}({ m V})$	$I_{o}(A)$	FB (mv)	SW(\O)	频率 (Hz)	封装	效率 (%)
1	Addtec	AMC7150	4~40	1.5	330	NPN/1.3V	200k	TO-252	70
2	ON	NCP3065	3~40	1.5	235	NPN/1.3V	250k	SO-8	70
3	Powtech	PT4105	5~18	0.5	200	P-MOS/0.3	500k	SO-8_	80
4	Powtech	PT4115	8~30	1.2	100	N-MOS/0.6	可变	SO-8	90
_ 5	Zetex	ZXLD1350	7~30	0.35	100	N-MOS/1.5	可变	TSOT23-5	90
6	Zetex	ZXLD1360	7~30	1.0	100	N-MOS/1.0	可变	TSOT23-5	90
_7	National	LM3402	6~42	0.5	200	N-MOS/1.5	可变	MSOP-8	90
8	National	LM3402HV	6~75	0.5	200	N-MOS/1.5	可变	MSOP-8	90
9	_National	′_LM3404	6~42	1.0	200	N-MOS/0.75	可变	SO-8	90
_10	National	LM3404HV	6~75	1.0	200	N-MOS/0.75	可变	SO-8	90
11	Active	ACT112	4.5~30	1.5	200	N-MOS/0.3	1.4M	SOT23-6	90
12	AXElite	AX2003	3.6~23	3	250	N-MOS/0.14	330k	SOP-8L	90
13	KF, QX, UTC	KF5241 QX5241 UTC4170	5.5~36	外置MOSFET	220	外置MOSFET	可变	SOT23-6	90
14	Maxim	MAX16820	4.5~28	外置MOSFET	210	外置MOSFET	可变	TDFN	90
15	Princeton	PT6901	8~18	外置MOSFET	240	外置MOSFET	300k	SOP-8	90
16	Shamrock	SMD736	40	3	1230	NPN	150k	TO-220 TO-263	79
17	Feeling—tech	FP7102	3.6~25	2.0	250	P-MOS/0.07	320k	SOP-8	88
18	Feeling—tech	FP7101A	$4.75 \sim 23$	2.0	200	N-MOS/0.22	380k	SOP-8	90
19	Diodes	AP8801	8~48	1.0	200	N-MOS/0.65	可变	SOP-8	90
20	Richtek	RT8450	4.5~40	1.0	190	NPN/1.3V	1.0M	WDFN-12L	80

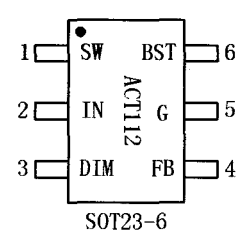


图1 ACT112引脚图

引脚3(DIM): PWM调光信号输入端。使用PWM信号时其电平要高于2V, 当将该引脚接到GND时, IC被禁止工作。

引脚4(FB): LED电流反馈调节输入端。该端的反馈电压为0.2V, LED检测电流通过外部电阻连接到GND端,将检测电阻上的电压连接到该引脚。

引脚5(G): 地。

引脚6(BST): 自举端。该引脚给内部高边N沟道MOSFET的栅极提供驱动电压。该端与SW端接一2.2nF的电容。

2) ACT112的主要元件选择

(1)电感选择

在一定的工作条件下,我们能设计出最适合的电感值。我们知道,在连续电流模式下(CCM),电感电流波形是三角波,其平均值等于负载电流。峰值开关电流等于输出电流加上输出电感纹波脉冲电流峰-峰值的一半,在功率级过载时,其内部限制电流为1.8A。因此最大输出负载电流可依靠开关电流来限制电感值、输入和输出电压值。

电感峰-峰值纹波电流通常控制在输出电流的20%~30%之间,因此可根据式(1)来选择电感值:

$$L = \frac{(1-D)\times(U_{\rm O} + U_{\rm F})}{\Delta I_{\rm L} \times f} \tag{1}$$

这里,f是ACT112的开关频率(1.4MHz), U_0 是输出电压, U_F 是续流肖特基二极管的正向电压降(约0.4V),D是开关频率占空比。

占空比D可由式(2)来计算:

$$D = \frac{U_{\rm O} + U_{\rm F}}{U_{\rm IN} + U_{\rm F}} \tag{2}$$

电感器的RMS额定电流值必须比最大负载电

流大30%以上,以防止电感出现饱和现象。为了获得更高的效率和更好的热特性,电感的直流阻抗 (DCR)必须小于0.25 Ω。峰值电感电流和开关电流可由式(3)计算:

$$I_{\text{L(PK)}} = I_{\text{SW(PK)}} = I_{\text{O}} + \frac{\Delta I_{\text{L}}}{2}$$
 (3)

峰值电流必须小于电流限制值。

在实际电路设计时, 千万要注意电感是电路 中的关键元件, 从原理上讲电感量越大, 则恒流 精度越高。例如在4.5~30V的输入电压范围内, 用22μΗ的电感恒流精度可达到2%,如果用10μΗ 的电感则恒流精度下降到3%,但是到底是用10uH 还是22μΗ的电感要做综合考虑。因为电感量的 大小不但与体积有关,还有DCR及成本有关。影 响电感质量的主要因素是磁性材料,常用的磁性 材料主要有镍锌和锰锌。在同样尺寸、同样感量 时通常锰锌磁性材料比镍锌磁性材料在成本上贵 1.2~1.5倍, 在大部分的应用时主要采用居里点 为240的镍锌磁性, 若使用条件更高时建议采用锰 锌4000、居里点400的磁性材料。磁性电感的最大 缺点是很容易产生硬饱和,这种现象在用户的设 计时经常发生,一旦发生磁饱和其结果将是灾难 性的、会瞬间烧毁IC或LED。因此电感的饱和电 流要比实际输出电流至少大50%,一般饱和电流小 的电感,其绕组铜线较细,且其Q值也较低,这类 电感在设计使用时即使不发生饱和, 但其稳流特 性也较差,因设法避免使用。

(2)输入电容选择

降压式调节器从电源端吸取脉冲电流。因此输入电容要求减少ACT112的输入电压纹波和降低脉冲电流对EMI的影响。输入电容在额定的电流容量下必须具有低的输入阻抗(RMS),在开关频率下能有效地降低电压纹波和EMI干扰信号。输入电容的RMS值可按式(4)计算:

$$I_{\text{CIN-RMS}} = I_{\text{O}} \times \frac{\sqrt{U_{O}(U_{\text{IN}} - U_{\text{O}})}}{U_{\text{IN}}} < \frac{I_{\text{O}}}{2}$$
 (4)

选择具有最好性能的瓷电容X5R或X7R,它们具有低的ESR和稳定的温度特性。同样,具有低ESR的钽电容也是不错的选择,能提供比额定输出电流低50%的纹波电流。在许多应用中,使用

一个10μF的瓷电容已足够了。在ACT112的应用中,该电容必需放置在IN端与GND端之间,且保持走线短而粗。在使用钽电容的时候,可在钽电容两端再并联一个0.1μF的瓷片电容,以尽可能降低ESR阻抗。

(3)输出电容选择

使用一个X5R或X7R的瓷片电容是最好的选择,因为它能满足大部分的应用要求。输出电容同样需要具有低的ESR要求,以保持输出电压具有低的纹波。输出纹波电压可由式(5)计算:

$$U_{\text{O-RIPPLE}} = I_{\text{O}} \times K_{\text{RIPPLE}} \times ESR + \frac{I_{\text{O}} \times K_{\text{RIPPLE}}}{8 \times f \times C_{\text{O}}} \quad (5)$$

这里: I_o 是输出电流; K_{RIPPLE} 是纹波系数(典型值是20%~30%);ESR是输出电容的等效阻抗;f是1.4MHz的开关频率,L是电感值; C_o 是输出电容。采用瓷片输出电容,ESR非常小,且提供了小的纹波电压。在使用钽电容或电解电容时候,纹波电压就是ESR和纹波电流的乘积。在本例中,应选用输出电容的ESR典型值低于 $50m\Omega$ 。

(4)整流二极管的选择

当ACT112内部的MOSFET关闭时,通过外部的肖特基二极管来构成电流通路。在稳定的工作条件下,二极管的平均电流可由式(6)来计算:

$$I_{\text{D-AVG}} = I_{\text{O}} \times \frac{U_{\text{IN}} - U_{\text{O}}}{U_{\text{O}}} \tag{6}$$

肖特基二极管必须具有比最大输出电流更高的电流容量,且其耐压比最高输入电压更高。

(5)电流取样电阻的选择

因ACT112的 U_{FB} 反馈电压仅为0.2V,因此在工程设计上取样电阻值可按式(7)计算:

$$R_{\rm S} = \frac{0.2}{I_{\rm LFD}} \tag{7}$$

这里,0.2是ACT112的 $U_{\rm FB}$ 电压, $I_{\rm LED}$ 是希望得到的输出电流值。采样电阻可选用0805或1206封装的金属膜电阻,重点是要满足精度(可选1%精度)与耗散功率值。

3) ACT112的调光方式

LED的调光控制可直接由DIM端来实现,调 光频率范围是0.1kHz至10kHz。如果不在DIM端加PWM信号、IC也能正常工作,因为DIM端正常 状态为高电平。采用DIM端调光方式时,电路如图2所示;ACT112也可使用模拟调光电压,电路如图3所示。采用模拟调光方式时,在模拟电压回路的串联电阻R_{DIM}可按式(8)计算:

$$R_{\text{DIM}} = R_{\text{I}} \times \frac{U_{\text{DIM(MAX)}} - U_{\text{FB}}}{U_{\text{FB}}}$$
 (8)

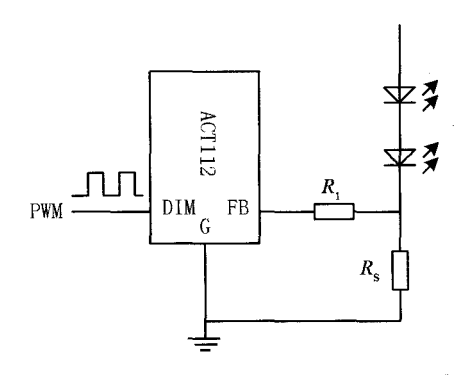


图2 ACT112 PWM调光方式

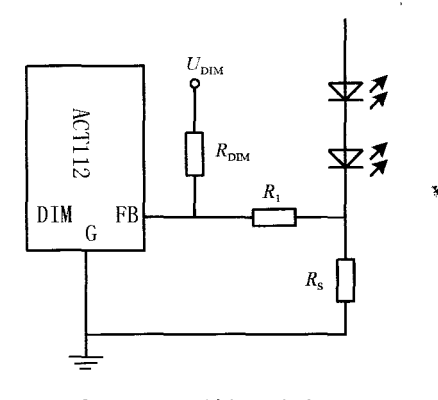


图3 ACT112模拟调光方式

3 基于ACT112构成的MR16 LED射灯驱动器

MR16 LED射灯具有多种输出功率与外形,输出功率主要分为1W、3W、5W等,目前在该类灯杯中输出功率大于5W的较少见,主要是从灯杯本身的散热体系来考虑的。

1) 基于ACT112构成5W降压式LED驱动器

在MR16 5W LED射灯大部分输入电压为交流12V±10%, 50/60Hz, 或使用DC12V。

ACT112被专门设计用在MR16 LED灯的驱动应用中,采用了非常小的6引脚SOT23-6封装。ACT112具有4.5~30V输入电压范围,这使得采用ACT112的驱动电路能提供很宽的驱动电流范

围。此外,ACT112的工作温度高达125℃,可以在MR16灯具内的高温环境中安全地工作。虽然ACT112可以控制的输出功率达到5W,甚至更高,但其1.4MHz的开关频率使驱动电路可以采用小尺寸的电感和电容,这样便可以将驱动电路放置在MR16灯具中。

图4是基于ACT112的5W MR16 LED驱动器。它由整流桥 $VD_1 \sim VD_4$ 、滤波电容 C_1 与 C_2 和降压型转换器电路组成,其中降压型转换器电路包含了LED驱动器ACT112、电感 (L_1) 、续流二极管 (VD_5) 和电流检测电阻 (R_2) 。

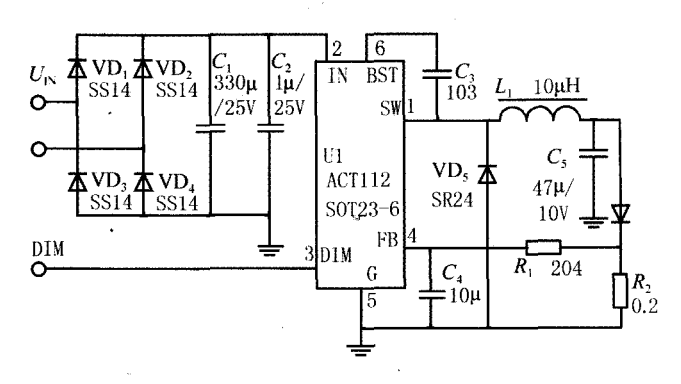


图4 基于ACT112的MR16 LED驱动器

5W的高亮度LED需要1A的驱动电流,因此、降压型LED驱动电路被设计成可以提供1A的直流输出电流。ACT112所采用的PWM电流控制方法使驱动电路非常简单,且具有很高的电流控制精度,从而保证5%的LED电流精度。

表2是ACT112在12V输入电压时效率,表3是ACT112在5W输出功率时主要元件的温度。

LEDa	输入电压	输出电流 (mA)	输出电压	☆ → → (0/ \	电流纹波
LEDS	(V)	(mA)	(V)	双伞(70)	(mA)
1	12DC	1000	4 25	88 17	7.2

4.22

80.78

9.3

表2 ACT112在U_{IN}=12V, /_o=1000mA时的效率

表3 ACT112在U_{IN}=12V, /_s=1000mA时的温度(T_s=25°C)

1000

12VAC

$U_{\rm IN}({ m V})$	L_1	VD_5	$VD^1 \sim VD_4$	U_1
12VAC	55℃	49℃	51℃	53℃
12VDC	59℃	49℃	45℃	58℃

2) 基于ACT112构成5W降-升压式LED驱动器

在MR16射灯中有种应用是我们比较难处理的,即输入电压在6~12V之间变化,而输出需带三个或三个以上的LED灯。当然三个灯有串联与并联的方式,对于串联来讲,若按每个LED的 U_F =3.5V,则总的 U_F =3×3.5V=10.5V,若此时输入电压正好处于6V,而ACT112原有的电路拓扑为降压式,那么显然是不能带动三个串联的LED工作的。若三个LED采用并联的工作模式,我们知道每个LED之间存在着 U_F 的差异,为了兼顾三个LED之间工作电流的平衡性与发光强度的一致性,在三个LED之间需要加入电流平衡电路,对于MR16 LED射灯来讲,从空间和成本的角度考虑显然是不能接受的,因此我们所采用的电路拓扑最好具有升一降压的功能。图5是将ACT112应用在降压—升压的电路模式。

图5与图4相比,增加了VT₁、 R_3 、VD₆三个元件,工作原理简述如下:ACT112的SW端与内部开关管组成降压电路,VT₁、 L_1 、VD₆组成升压电路,当 U_{in} <V U_{out} 时,电路进入升压工作模式以满足输出电压的要求;当 U_{in} > U_{out} 时,电路自动进入降压工作模式,同样能满足输出电压的需求。恒流电流仍由 R_2 、 R_1 及 U_1 的FB端执行。采用降压一升压工作模式后,唯一的缺点是整体转换效率比原有的降压电路稍低,且因增加了三个元件,在PCB排板时要合理地布局。表4是采用降压—升压电路模式效率测试数据。

3) MR16 LED驱动器提高效率的方法

我们知道由于留给MR16 LED驱动器的空间很小,因此限制了输入整流桥(肖特基)的电流容量和电感的尺寸,特别要满足升-降压模式时其转换效率下降明显,由表2、表4可见,同样在12VDC输入电压时,效率分别是88.17%和84.5%,要补偿这4%的效率损失可采用MOSFET管整流的电路结构。图6就是采用MOSFET管整流的原理图。

输入侧MOSFET管整流有两种电路结构,一种是图6所示的在整流桥壁上采用两只N沟道MOSFET与两只肖特基二极管组成,另一种则是四只均采用MOSFET,上面两只(VD₁、VD₂)采用P沟道的MOSFET,下面两只(VD₃、VD₄)采用N

POWER SUPPLY TECHNOLOGIES AND APPLICATIONS

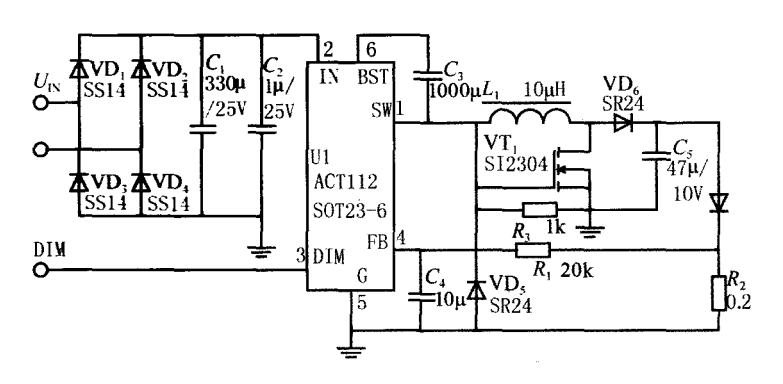


图5 ACT112降压-升压电路模式

表4 ACT112降压-升压模式效率

输入电压(V)	LED数量	效率(%)
12VDC	4	84.5
12VAC	4	75.8

沟道MOSFET组成。从我们实际应用与测量结果来看,采用图6的电路模式具有较高的性价比,因为若 VD_1 、 VD_2 采用P沟道MOSFET与采用肖特基二极管在转换效率上贡献有限,但成本却上升不少,同时由于输入回路都是MOSFET,因此在驱动MOSFET时显得比较麻烦,参数选择稍有不合理,很容易烧毁MOSFET。

输入侧MOSFET管整流工作原理简述:由图 6可见,若输入为50Hz 12VAC时,假设上端为正时,则输入电压经VD₁ \rightarrow C_1 (负载) \rightarrow VD₄源极(S) \rightarrow VD₄漏极(D) \rightarrow 输入电压的另一端构成MOSFET管整流回路;若输入下端为正时,则输入电压经VD₂ \rightarrow C_1 (负载) \rightarrow VD₃源极(S) \rightarrow VD₃漏极(D) \rightarrow 输入

 \overline{VD}_2 6 IN BST 1000μ 10μH oŠ SW 330µF :ΪμF/ C₅ 47μ/₩ ∽ 25V /25VU1 S12304 ACT112 10V S0T23-6 R_{3} 10k VD₁-VD₂ VD₃-VD₃ FB DIM SS24*2 SI2304*2 $R_1 \, 513$ GDIM 本VD。 SR24 5 Τ10μ 0.2

图6 ACT112输入侧采用MOSFET整流方式

电压的另一端构成MOSFET管整流回,MOSFET管(VD_3 、 VD_4)的驱动电压直接取自输入电压;若输入端采用12VDC电压时,不管哪端为正电压, VD_3 或 VD_4 的栅极(G)均具有导通的可能,到底是 VD_3 还是 VD_4 导通,取决于输入电压的极性,这样同样可以完成MOSFET管整流的作用。

MR16的输入电压一般为12VAC或 12VDC,MOSFET整流通常采用低压 MOSFET,其栅极驱动电压通常为4.5V左右,对 于ACT112控制IC来讲,其输入电压为4.5V,因 此,在同样的输入电压与负载条件下,可明显地发 现输出提早了(即LED的点亮时间提前);若输入电 压大于12V时,则为了保证MOSFET栅一源极的安 全,可在栅一源极并联10kΩ电阻与10V的稳压管。

输入侧采用MOSFET管整流技术,在同样的输入电压与负载条件下,整体转换效率可提升3%~5%;缺点是成本与采用肖特基二极管比较略有上升。这种电路结构在比较高端的客户中很受欢迎。

4) MR16 LED驱动器设计难点

我们认为MR16 LED驱动器设计难点主要在于以下几个方面:

(1)所设计的LED驱动器恒流精度问题。目前能用于MR16 LED的控制IC主要分两类,一类是所谓的PWM控制模式,如ACT112,PT4105,AMC7150,NCP3065等,另一类则是迟滞控制方式,如PT4115,LM3404,ZXLD1350,ZXLD1360等。PWM控制方式的恒流精度比迟滞

控制方式的高,但就是 电路结构稍复杂,元 件数量稍多,可根据 MR16底座空间作合理 地取舍。

(2)所设计的LED驱动器的转换效率问题。 转换效率与控制IC的开关频率、内部开关管的

(下转p.23)

导通电组、续流电感的DCR值等密切相关。目前内置NPN三极管的控制IC基本不再适合MR16 LED驱动器,因为现在该类驱动器的输出功率越来越大,输出功率越大在开关管上的功耗就越大,因此严重地阻碍了整个转换器效率的提升。同时采用NPN开关管的电路其工作频率较低,在同样的输出功率下,其要求的电感值与滤波电容值也大,同样影响了转换器效率的提升,还有就是大尺寸的电感器可能会在PCB排板时造成困难。

(3)所设计的LED驱动器的成本问题。我们知道任何电子产品在其面市的初期,可能具有比较丰厚的利润,而一旦当其进入正常生产流程,其利润空间可能存在大幅下降的可能,因此对于MR16 LED驱动器来讲,其输入电压一般仅为12VAC或12VDC,所以控制IC的工作电压范围不宜选得过宽。因为控制IC的工作电压范围不宜选得过宽。因为控制IC的工作电压范围越宽,则其成本越高,且控制IC占整个驱动器的比例较高,因此要做出合理地选择。

4 结束语

MR16射灯在商业照明与居家照明中具有较大的市场占有率,采用LED MR16来替代原有的卤素灯,能充分发挥节能减排的效果,而要设计好LED MR16射灯,驱动器的性价比直接决定了该类灯具的特性。本文较详细地给出了基于ACT112构成的MR16 LED驱动器,可作为生产商提供一些有益地参考。

参考文献

ACT112 Data Sheet

作者简介

杨恒(1964--), 男,高级工程师,技领半导体(上海)有限公司产品开发经理。现已出版个人专业书籍三本,并在国内多种专业期刊上发表论文三十多篇。现为上海市电子学会会员,上海市电源学会理事。